

# Метод измерения углового распределения электронов мощных ускорителей

© А.П. Степовик, В.Д. Ларцев, В.С. Блинов

Российский федеральный ядерный центр — Всероссийский научно-исследовательский институт технической физики им. Е.И. Забабахина,  
456770 Снежинск, Челябинская область, Россия  
e-mail: dep5@vniitf.ru

(Поступило в Редакцию 25 октября 2006 г.)

Представлен разработанный метод и полученные результаты измерений углового распределения электронов, выходящих в атмосферу из центра выходного окна мощных ускорителей Российского федерального ядерного центра — Всероссийского научно-исследовательского института технической физики (РФЯЦ–ВНИИТФ) ИГУР-3 и ЭМИР-М. Для измерения количества электронов использовали кабельные датчики (телесный угол коллиматора датчика  $\sim 0.01$  sr). Измерения проведены в трех азимутальных направлениях через  $120^\circ$  в диапазоне изменения полярного угла  $0-22^\circ$ . Полученные угловые распределения электронов ускорителей представлены в виде *B*-сплайнов.

PACS: 29.27.-a

## 1. Схема и средства измерений

Одной из характеристик выведенного в атмосферу импульсного электронного пучка мощных ускорителей является его угловое распределение. Как правило, для подобных ускорителей оно определяется косвенным образом — с помощью измерения углового распределения тормозного излучения с применением специальных стекол [1] либо по свечению тонких диэлектрических пленок [2]. Измерения в магнитном поле проводятся с использованием коллиматоров или диафрагм [3] и др.

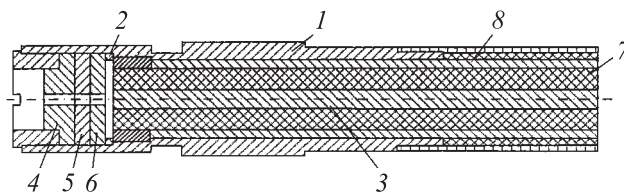
Для мощных ускорителей прямого действия РФЯЦ–ВНИИТФ ИГУР-3 и ЭМИР-М [4] первые результаты по непосредственному измерению углового распределения электронов приведены в [5–7]. Трудность подобных измерений, как правило, связана с влиянием помех [8]. В представляемом методе это влияние удалось свести к минимуму благодаря тому, что электроны не выходили из измерительного устройства в окружающее пространство. Это исключало появление помех, связанных с излучением плазмы, создаваемой электронным пучком [8].

Сущность метода заключается в том, чтобы по измерениям величины электрического заряда определять число электронов, прошедших через коллиматоры с малым телесным углом, установленные под различными углами  $\alpha$  по отношению к оси ускорительной трубки. Для этого необходимо иметь датчики с одинаковой эффективностью сбора электронов. С этой целью была разработана специальная конструкция (кабельный датчик), в составе которой имелся коллиматор (алюминий и тантал) с телесным углом  $\Omega_k \sim 0.01$  sr и приемный электрод — жила кабеля РК75-9-13 (рис. 1). Датчики изготавливались в виде цельного узла с небольшим отрезком кабеля, заканчивающегося стандартным высокочастотным разъемом СР75-168ПВ. Общая длина собранного узла с датчиком составила  $\sim 250$  mm. По-

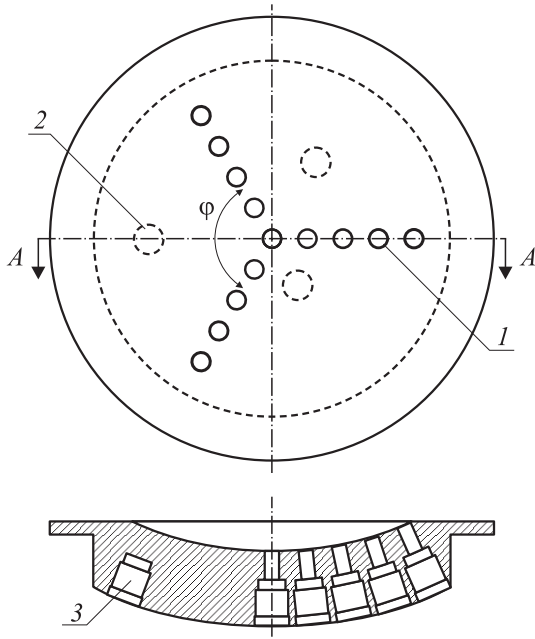
дробно конструкция и технология изготовления датчика изложены в [9].

В измерительном устройстве (рис. 2) размещали 13 кабельных датчиков таким образом, чтобы их оси были ориентированы на центральную часть выходного окна ускорителя (площадью  $\sim 4$  cm<sup>2</sup>) под разными углами (полярным  $\alpha$  и азимутальным  $\psi$ ) по отношению к оси ускорителя. При выбранном расположении датчиков направление падения электронов пучка на датчик обеспечивалось с погрешностью, равной половине величины угла раствора коллиматора  $\theta \sim 3.5^\circ$ , с осью, перпендикулярной плоскости приемного электрода. Это позволяло при построении углового распределения в относительном виде не учитывать коэффициент отражения электронов от медного электрода, поскольку для всех датчиков он был одинаковым  $\sim 30\%$  [10].

В [5–7] было показано, что фоновый сигнал кабельного датчика обусловлен тормозным излучением от корпуса ускорительной трубки и измерительного устройства. Для его учета использовались три закрытых от попадания электронов кабельных датчика — фоновые датчики, сигналы с которых регистрировались в каждом пуске. Углы наклона фоновых датчиков были выбраны равными 8, 13 и  $19^\circ$ .



**Рис. 1.** Схема кабельного датчика: 1 — корпус; 2 — изолирующая прокладка; 3 — жила кабеля (электрод); 4–6 — коллиматор; 7 — изолятор кабеля; 8 — внешняя оболочка кабеля.



**Рис. 2.** Схема устройства для измерения пространственно-углового распределения электронов: 1 — входное окно кабельного датчика; 2 — положение фонового кабельного датчика; 3 — гнездо для фонового кабельного датчика.

Зависимость углового распределения  $F_\psi(\alpha)$  электронов в центре выходного окна ускорительной трубки от полярного угла  $\alpha$  при каждом из трех значений азимутального угла  $\psi$  определялась по формуле [11]:

$$F_\psi(\alpha) = \frac{1}{K_i} \frac{Q_{ip} - Q_{if}}{Q_{1p} - Q_{1f}}, \quad (1)$$

где  $Q_{ip}$  — полный заряд, регистрируемый  $i$ -м датчиком, расположенным в направлении азимутального угла  $\psi$ ;  $Q_{if}$  — фоновый заряд в сигнале  $i$ -го датчика, регистрируемый соответствующим фоновым кабельным датчиком;  $K_i$ ,  $i = 2-13$  эффективность  $i$ -го датчика по отношению к центральному датчику с  $i = 1$ .

Измерения  $Q_{ip}$  и  $Q_{if}$  проводились для разных режимов работы ускорителя ИГУР-3, а измерения для ускорителя ЭМИР-М проводились в штатном режиме. Вид пространственно-угловых распределений электронов данных ускорителей приведен на рис. 3 и 4. Размер горизонтальных отрезков соответствует максимальному интервалу полярного угла „видимости“ каждого датчика; размер вертикальных отрезков указывает среднеквадратичное отклонение для результатов, соответствующих различным пускам ускорителя.

Полученные экспериментальные результаты фактически представляют собой интегральные значения зарядов с угловой шириной, равной величине телесного угла каждого датчика.

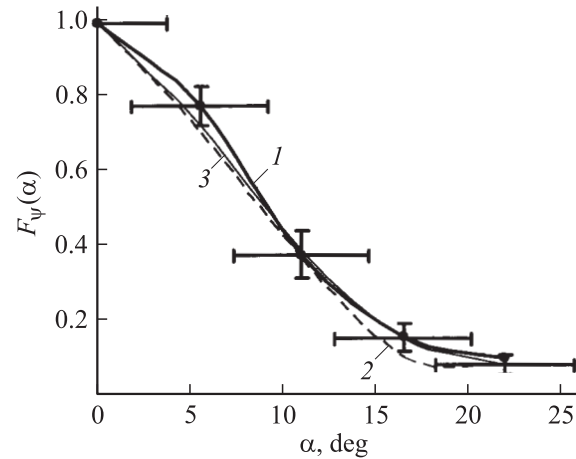
Ниже, в разд. 2, предполагается, что угловое распределение электронов  $f(\beta)$ , вылетающих с поверхности анода, зависит только от угла между направлением

вылета электрона и осью ускорительной трубки  $\beta$ . В этом случае связь между результатами измерений  $F_i$  и искомым угловым распределением  $f(\beta)$  может быть записана в виде интегрального соотношения

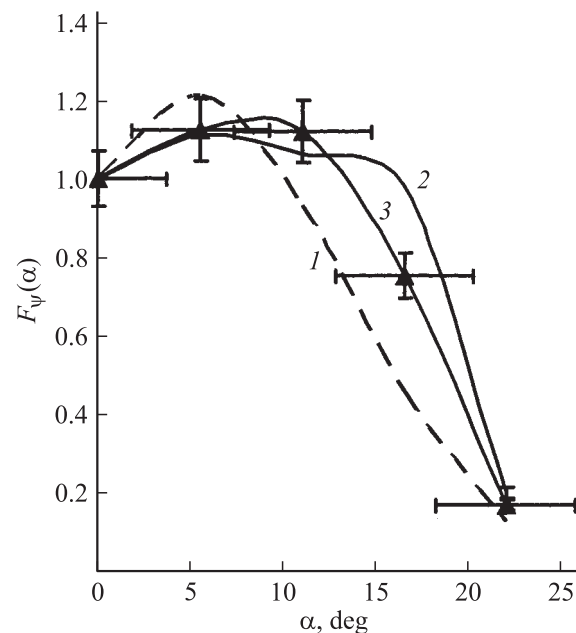
$$F_i = \int_{\beta_{\min}}^{\beta_{\max}} L(\alpha_i, \beta) f(\beta) d\beta, \quad i = 1, \dots, N. \quad (2)$$

Здесь  $L(\alpha_i, \beta)$  — некоторое ядро системы интегральных уравнений, определяемое условиями измерений.

Так как при измерениях регистрируются только электроны, входящие в коллиматор в пределах телесного



**Рис. 3.** Зависимости функции  $F_\psi(\alpha)$  от полярного угла  $\alpha$  для трех азимутальных направлений при длительности пучка электронов ускорителя ИГУР-3  $\sim 50$  ns.



**Рис. 4.** Зависимости функции  $F_\psi(\alpha)$  от полярного угла  $\alpha$  для трех азимутальных направлений штатного режима работы ускорителя ЭМИР-М.



нетрудно получить

$$x_p = \frac{x_H - \sqrt{S}}{\varepsilon^2}, \quad S = b^2 \left( \frac{x_H^2}{a^2} - \varepsilon^2 \right) + r^2 \varepsilon^2 \geq 0. \quad (8)$$

Знак минус перед  $\sqrt{S}$  в (8) обусловлен тем, что при  $r = |x_H - a|$  должно быть  $x_r = a$ .

В соответствии с рис. 5 легко видеть, что

$$\varphi = \arccos \left( \frac{x_H - X_P}{r} \right). \quad (9)$$

Формула (9) получена для углов  $\beta_1 \leq \beta \leq \beta_2$ , и тогда, предполагая азимутальную однородность изучения электронов анодом, в соответствии с (7) можно записать

$$F(\alpha) = 2 \int_{\beta_1}^{\beta_2} \varphi \frac{h^2 \sin(\beta)}{\cos^3(\beta)} f(\beta) d\beta. \quad (10)$$

### $\alpha < 0$

При таком соотношении углов  $x_H < a$  в датчик  $D$  попадают электроны, излучаемые анодом в диапазоне углов  $0 \leq \beta \leq \beta_2$ . Легко видеть, что угол  $\varphi = \pi$  при  $0 \leq \beta \leq |\beta_1|$  и определяется выражением (8) при  $|\beta_1| < \beta \leq \beta_2$ .

Таким образом, если ввести определение угла  $\varphi$  по формуле

$$\varphi = \begin{cases} \pi\eta(\theta - \alpha), & 0 \leq \beta \leq |\beta_1|, \\ \arccos\left(\frac{x_H - x_r}{r}\right), & |\beta_1| < \beta \leq \beta_2, \end{cases} \quad (11)$$

где  $\eta(\beta)$  — функция Хевисайда, то обобщив оба рассмотренных случая соотношения углов  $\alpha$  и  $\theta$ , можно

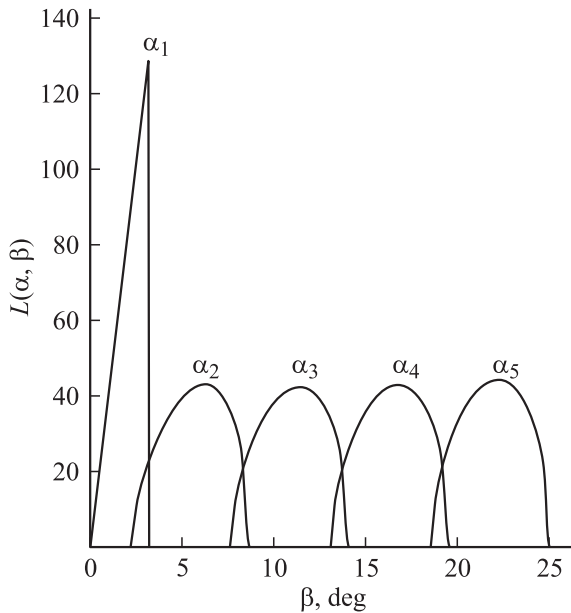


Рис. 6. Ядро  $L(\alpha_i, \beta)$  системы интегральных уравнений (1).

окончательно записать

$$F(\alpha) = \int_0^{\alpha+\theta} L(\alpha, \beta) f(\beta) d\beta, \quad (12)$$

где

$$L(\alpha, \beta) = 2\varphi h^2 \frac{\sin(\beta)}{\cos^3(\beta)}. \quad (13)$$

На рис. 6 показаны функции  $L(\alpha_i, \beta)$  ( $i = 1, \dots, 5$ ) для отмеченных выше углов  $\alpha_i = 0, 5.5, 11, 16.5, 22^\circ$ ,  $\theta = 3.23^\circ$ .

### 3. Алгоритм восстановления

Для нахождения углового распределения  $f(\beta)$  требуется решить систему интегральных уравнений (2), где левая часть известна с погрешностью  $\Delta F_i$  ( $i = 1, \dots, N$ ). Существование решения задачи (2) гарантируется ее физическим содержанием, однако, как известно, она относится к классу некорректно поставленных задач, и ее можно рассматривать как эффективно недоопределенную и, следовательно, не имеющую однозначного решения [13].

Для однозначного выбора решения (правило отбора) системы (2) необходимо ввести дополнительную, априорную информацию об искомом распределении. В данной работе наряду с положительностью искомого решения накладывается требование „гладкости“  $f(\beta)$  и близости ее к некоторой заданной пробной функции  $f^{(0)}(\beta)$ .

Для алгебраизации задачи (2) будем использовать представление углового распределения  $f(\beta)$  в виде сплайна  $S(\beta)$ :

$$f(\beta) \approx S(\beta) \equiv \sum_{j=1}^m f_j B_j^k(\beta). \quad (14)$$

Здесь функции  $B_j^k(\beta)$  — базисные сплайны порядка  $k$  с конечными носителями минимальной длины ( $B$ -сплайны),  $f_j$  — искомые коэффициенты сплайна  $S(\beta)$  [14,15]. Функция  $B_j^k(\beta)$  непрерывна вместе со своими производными до порядка  $k - 2$  включительно. В настоящей работе кратность внутренних узлов сплайна  $S(\beta)$   $t_1 \leq t_2 \leq \dots \leq t_n$  полагается равной единице, что обуславливает максимальную гладкость сплайна [15].

Кроме того, следует отметить важное для нас свойство положительности  $B$ -сплайна в пределах своего носителя, т. е.

$$B_j^k(\beta) > 0 \quad \text{для} \quad t_j < \beta < t_{j+k}.$$

Это означает, что если в (14) все коэффициенты  $\{f_j\}$  неотрицательны, то и  $S(\beta) \geq 0$ , что должно выполняться исходя из физического смысла задачи.

Подставив (14) в (2) и произведя интегрирование, для нахождения неизвестных коэффициентов  $f_j$  получим в

матричных обозначениях систему линейных алгебраических уравнений (СЛАУ):

$$\mathbf{A} \cdot \mathbf{f} = \mathbf{F} \pm \Delta \mathbf{F}, \quad (15)$$

где введены обозначения:

$$A_{ij} = \int_0^{\beta_{2i}} L(\alpha_i, \beta) B_j^k(\beta) d\beta, \quad i = 1, \dots, N, \quad j = 1, \dots, m,$$

$$\mathbf{F} = [F_1, \dots, F_N]^T, \quad \mathbf{f} = [f_1, \dots, f_m]^T, \quad m = \sum_{j=2}^{n-1} m_j + k. \quad (16)$$

Чтобы не усложнять запись формул, в (16) при обозначении элементов матрицы  $\mathbf{A}$  опущен верхний индекс  $k$ , который считается заданным ( $k \geq 1$ ).

В настоящей работе СЛАУ (15) решается обобщенным алгоритмом метода минимизации направленного расхождения [16] при следующих возможных ограничениях на искомые коэффициенты  $\mathbf{f}$ .

$$\mathbf{f}_1 \leq \mathbf{f} \leq \mathbf{f}_2, \quad (17a)$$

$$\mathbf{H} \cdot \mathbf{f} \geq \mathbf{h}. \quad (17b)$$

Здесь через  $0 \leq \mathbf{f}_1 \leq \mathbf{f}_2$  обозначены нижняя и верхняя границы допустимых значений  $\mathbf{f}$ . Неравенство (17b), где  $\mathbf{H}$  и  $\mathbf{h}$  — некоторые заданные матрица и вектор соответственно, позволяют использовать некоторую качественную (дескриптивную) информацию об искомом распределении (например, монотонность или выпуклость  $f(\beta)$  на некоторых интервалах). Ограничения (17) задаются исходя из априорной информации о характере  $f(\beta)$ .

Следует отметить, что выбор разбиения  $\{t_i\}$  также влияет на поведение  $f(\beta)$ , и его также следует делать из априорных соображений. Более того, как показывают численные расчеты, введение априорной информации через задание соответствующего разбиения  $\beta_j$  и выбор порядка сплайна  $k$  являются наиболее простыми и эффективными способами регуляризации задачи. При  $k = 1$  получим, в частности, групповое представление искомой функции.

Поскольку задача (15) с ограничениями (17) нелинейна, в данной работе ошибка решения  $\Delta \mathbf{f}$  оценивается статистическим образом путем проведения „числовых экспериментов“. Это означает, что СЛАУ (15) решается многократно  $Ct \gg 1$  раз, когда правая часть  $\mathbf{F}$  варьируется случайным образом в согласии с заданной ошибкой  $\Delta \mathbf{F}$  и соответствующим законом распределения. По совокупности полученных решений  $\{f^{(j)}\}_1^{Ct}$  по общим правилам статистики (см., например, [17–19]) оценивается среднее значение  $\bar{\mathbf{f}}$  и ковариационная матрица  $\mathbf{D}[\mathbf{f}]$  найденного решения. Следует отметить, что таким образом находится лишь компонент ошибки, обусловленная вариацией результатов измерений.

Чтобы проверить работоспособность предлагаемого алгоритма восстановления, были проведены „числовые

эксперименты“. Для используемых в реальных измерениях значений углов  $\alpha_i$  ( $i = 1, \dots, 5$ )  $\theta$  (см. разд. 2) и заданном  $f^*(\beta)$  рассчитывались по формулам (12), (13) точные значения  $F_i^*$ , в которые вносилась случайная относительная распределенная по нормальному закону погрешность  $\varepsilon$ . По найденным таким способом „результатам измерения“  $F_i$  восстанавливалось искомое угловое распределение электронов.

В соответствии с [16] решение задачи (15)  $\mathbf{f}$  ищется итерационным способом. Для задания подходящего начального приближения  $\mathbf{f}^{(0)}$  воспользуемся малостью телесного угла коллиматора  $\Omega_k \approx 0.01$  sr. Это означает, что при заданном угле  $\alpha_i$  диапазон углов  $[\beta_1, \beta_2]$ , в котором излучаются электроны с соответствующей эллиптической поверхности анода и попадающие в датчик, мал, и в первом приближении можно считать, что  $f(\beta) \gg \text{const} = c_i$ ,  $[\beta_1 \leq \beta \leq \beta_2]$ . Тогда, согласно (12), можно записать

$$c_i = F_i/s_i, \quad i = 1, 2, \dots, 5, \quad (18)$$

где  $s_i$  — площадь  $i$ -го эллипса (6). По найденным значениям  $c_i$  проводится сплайн (15), и его коэффициенты принимаются в качестве начального приближения  $\mathbf{f}^{(0)}$ .

Проведенные расчеты с

$$f^*(\beta) = \cos^i(\beta), \quad i \leq 100, \quad (19)$$

показали, что при „ошибке измерения“  $\varepsilon = 0$  восстановленное распределение практически совпадает с заданным. При  $\varepsilon = 5\%$  ( $1\sigma$ ) в нормальном законе распределения заданное и восстановленное распределения в пределах ошибки восстановления, которая составляет 4–6% ( $1\sigma$ ), согласуются между собой.

#### 4. Пространственно-угловое распределение электронного пучка ускорителей ИГУР-3 и ЭМИР-М

Проведенные эксперименты по исследованию пространственно-углового распределения электронов, вылетающих из центральной части анодов ускорительных трубок ускорителей ИГУР-3 и ЭМИР-М, показали, что результаты измерений  $F_i$  по разным лучам  $\psi$  для одного и того же режима работы ускорителя могут достаточно сильно различаться. Это говорит о том, что угловое распределение электронов может зависеть также и от азимутального угла  $\psi$ , т. е. является функцией двух углов  $f(\beta, \psi)$ . В таких случаях полученное выше соотношение (10) следует записать в виде

$$F_\psi(\alpha) = \int_0^{\beta_2} d\beta \frac{h^2 \sin(\beta)}{\cos^3(\beta)} \int_{-\varphi(\beta)}^{\varphi(\beta)} f(\beta, \psi + \Delta\psi(\xi)) d\xi. \quad (20)$$

Необходимо отметить, что для удовлетворительного поиска двумерного распределения  $f(\beta, \psi)$  результатов

измерений недостаточно (всего три луча по углу  $\psi$ ). Поэтому для упрощения задачи перепишем (20) в следующем виде:

$$F_{\psi}(\alpha) = \int_0^{\beta_2} \frac{h^2 \sin(\beta)}{\cos^3(\beta)} 2\varphi \bar{f}_{\psi}(\beta) d\beta = \int_0^{\beta_2} L(\alpha, \beta) \bar{f}_{\psi}(\beta) d\beta, \quad (21)$$

где

$$\bar{f}_{\psi}(\beta) = \frac{1}{2\varphi(\beta)} \int_{-\varphi(\beta)}^{\varphi(\beta)} f(\beta, \psi + \Delta\psi(\xi)) d\xi \quad (22)$$

есть усредненное по азимутальному углу распределение электронов для луча датчиков с азимутальным углом  $\psi$ . Таким образом, при фиксированном значении  $\psi$  соотношения (12) и (21) отличаются смыслом углового распределения в этих формулах.

При  $\alpha = 0$  для любого значения  $\psi$  имеем

$$F_{\psi_1}(0) = F_{\psi_2}(0) = F_{\psi_3}(0), \quad (23)$$

$$f(0, \psi) = \text{const}. \quad (24)$$

Ограничения-равенства (23), (24) показывают, что уравнения (21) при различных значениях  $\psi$  ( $\psi = \psi_1, \psi_2, \psi_3$ ) не являются независимыми, т.е. необходимо решать систему интегральных уравнений сразу для трех лучей.

При алгебраизации задачи (15) ограничения (23), (24) записываются следующим образом:

$$\sum_{j=1}^m A_{1j} f_j^{(1)} = \sum_{j=1}^m A_{1j} f_j^{(2)} = \sum_{j=1}^m A_{1j} f_j^{(3)},$$

$$f_1^{(1)} = f_1^{(2)} = f_1^{(3)}. \quad (25)$$

Здесь через  $f_j^{(k)}$  обозначена  $j$ -я компонента искомого вектора для  $k$ -го луча ( $k = 1, 2, 3$ ). Введя векторы  $\mathbf{F}^{(k)}$  и  $\mathbf{f}^{(k)}$  как результаты измерений и искомые коэффициенты сплайна для  $k$ -го луча, получим систему линейных алгебраических уравнений

$$\left. \begin{aligned} \mathbf{A} \mathbf{f}^{(k)} &= \mathbf{F}^{(k)} \pm \Delta \mathbf{F}^{(k)}, \quad k = 1, 2, 3, \\ \mathbf{d} \mathbf{f}^{(1)} &= \mathbf{d} \mathbf{f}^{(2)} = \mathbf{d} \mathbf{f}^{(3)}, \\ \mathbf{g} \mathbf{f}^{(1)} &= \mathbf{g} \mathbf{f}^{(2)} = \mathbf{g} \mathbf{f}^{(3)}, \end{aligned} \right\} \quad (26)$$

где введены обозначения

$$\mathbf{d} = [A_{11}, A_{12}, \dots, A_{1m}], \quad \mathbf{g} = [1, 0, \dots, 0].$$

Введя матрицы

$$\mathbf{C} = \begin{bmatrix} \mathbf{A} & & \\ & \mathbf{A} & \\ & & \mathbf{A} \end{bmatrix}, \quad \mathbf{R} = \begin{bmatrix} \mathbf{d} & -\mathbf{d} & 0 \\ 0 & -\mathbf{d} & \mathbf{d} \\ \mathbf{g} & -\mathbf{g} & 0 \\ 0 & -\mathbf{g} & \mathbf{g} \end{bmatrix},$$

$$\mathbf{F} = \begin{bmatrix} \mathbf{F}^{(1)} \\ \mathbf{F}^{(2)} \\ \mathbf{F}^{(3)} \end{bmatrix}, \quad \Delta \mathbf{F} = \begin{bmatrix} \Delta \mathbf{F}^{(1)} \\ \Delta \mathbf{F}^{(2)} \\ \Delta \mathbf{F}^{(3)} \end{bmatrix}, \quad \mathbf{f} = \begin{bmatrix} \mathbf{f}^{(1)} \\ \mathbf{f}^{(2)} \\ \mathbf{f}^{(3)} \end{bmatrix},$$

СЛАУ (26) запишем следующим образом:

$$\mathbf{C} \mathbf{f} = \mathbf{F} \pm \Delta \mathbf{F},$$

$$\mathbf{R} \mathbf{f} = 0. \quad (27)$$

Численно задача (27) решалась методом минимизации направленного расхождения [16], используя нуль-пространство матрицы  $\mathbf{R}$ . Результаты восстановления угловых распределений электронов для ускорителей ИГУР-3 и ЭМИР-М представлены на рис. 7, 8, где цифрами 1, 2, 3 помечены угловые распределения электронов для соответствующих лучей,  $\bar{f}(\beta)$  — восстановленное распределение, а  $f^{(0)}(\beta)$  — начальное приближение, рассчитанное по формуле (18). Погрешности ( $1\sigma$ ) значений восстановленных зависимостей находились статистическим образом при  $Ct = 100$ .

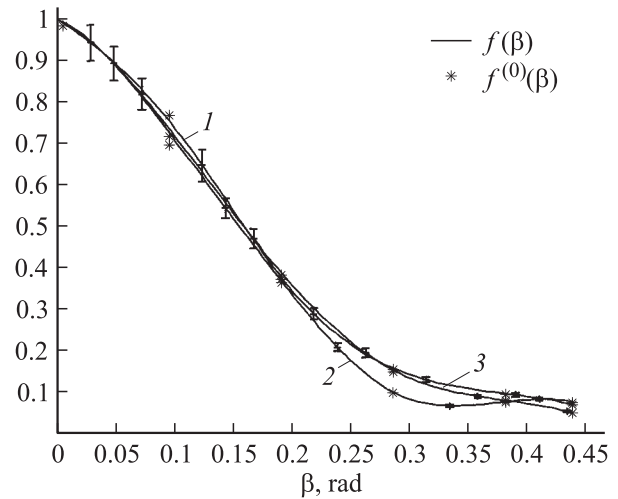


Рис. 7. Угловые распределения электронов ИГУР-3.

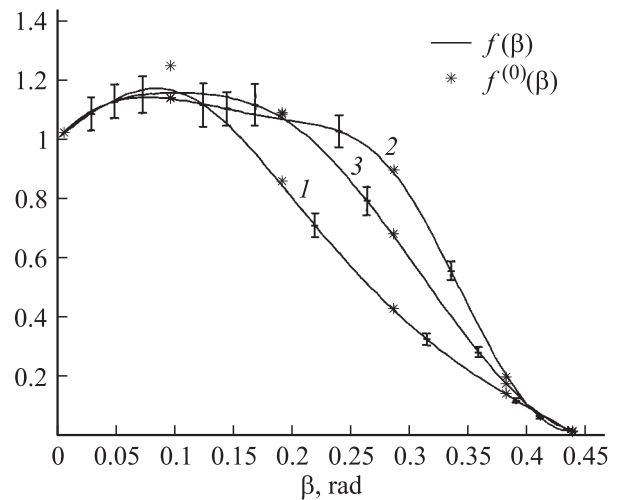


Рис. 8. Угловые распределения электронов ЭМИР-М.

## Список литературы

- [1] *Завада Н.И., Комаров П.Л., Цукерман В.А.* и др. // Физика и техника импульсных источников ионизирующих излучений для исследования быстропротекающих процессов. Сб. науч. тр. № 5 / Под ред. Н.Г. Макеева. Саров: РФЯЦ–ВНИИЭ, 1996. 490 с.
- [2] *Кременцов В.И., Стрелков П.С., Шкварунец Г.А.* // ЖТФ. 1980. Т. 50. Вып. 11. С. 2469–2472.
- [3] *Аржанников А.В., Койдан В.С., Логинов С.В.* // ПТЭ. 1983. № 4. С. 36–38.
- [4] *Диянков В.С., Ковалев В.П., Кормилицын А.И.* и др. // ФММ. 1996. Т. 81. Вып. 2. С. 119–123.
- [5] *Степовик А.П., Блинов В.С., Лукин А.В.* и др. // Радиационная стойкость электронных систем. СТОЙКОСТЬ-2004. Науч.-технич. сб. Вып. 7. М.: МИФИ, 2004. С. 205.
- [6] *Степовик А.П., Блинов В.С., Купырина Т.В.* // Тез. докл. 6-го Междун. Уральского семинара „Радиационная физика металлов и сплавов“. Екатеринбург: ИФМ УрО РАН, 2005. С. 100.
- [7] *Степовик А.П., Блинов В.С., Лукин А.В.* и др. // ВАНТ. Сер. „Физика радиационного воздействия на радиоэлектронную аппаратуру“. 2005. Вып. 3–4. С. 110.
- [8] *Алексеев С.Б., Губанов В.П., Орловский В.М.* и др. // ПТЭ. 2003. № 4. С. 81.
- [9] *Степовик А.П., Блинов В.С.* // ПТЭ. 2006. № 3. С. 107–110.
- [10] *Шиманская Н.С.* Калориметрия ионизирующих излучений. М.: Атомиздат, 1973. 328 с.
- [11] *Степовик А.П., Блинов В.С., Лукин А.В.* и др. // Мат. XI Междунар. совещ. по применению ускорителей заряженных частиц в промышленности и медицине (ICAA’05). СПб.: СПбГУ, НИИ ВМ и ПУ, ВВМ, 2005. С. 340–343.
- [12] *Мухелишвили Н.И.* Курс аналитической геометрии. Л.: ОГИЗ, 1947. 644 с.
- [13] *Тихонов А.Н., Арсенин В.Я.* Методы решения некорректных задач. М.: Наука, 1986. 288 с.
- [14] *Завьялов Ю.С., Квасов Б.И., Мирошниченко В.Л.* Методы сплайн-функций. М.: Наука, 1980. 352 с.
- [15] *де Бор К.* Практическое руководство по сплайнам. М.: Радио и связь, 1985. 304 с.
- [16] *Ларцев В.Д.* Обобщенный алгоритм метода минимизации направленного расхождения. Препринт № 216. РФЯЦ–ВНИИТФ, 2005. 19 с.
- [17] *Мудров В.И., Кушко В.Л.* Методы обработки измерений. М.: Радио и связь, 1976. 192 с.
- [18] *Худсон Д.* Статистика для физиков. М.: Мир, 1970. 296 с.
- [19] *Севастьянов Б.А.* Курс теории вероятностей и математической статистики. М.: Наука, 1982. 256 с.